

3D Diracov polumetal Cd_3As_2 – Sinteza i transportna mjerena

¹Filip Orbanić, ¹Mario Novak, ²Nikola Biliškov, ¹Ivan Kokanović

¹Fizički odsjek, PMF, Zagreb, Croatia,

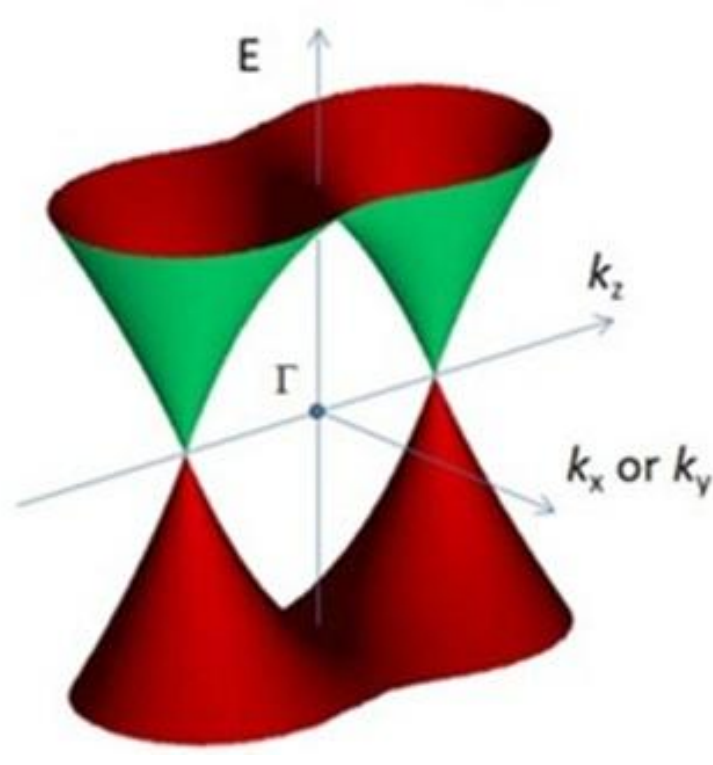
²Institut Ruđer Bošković, Zagreb, Croatia



E-mail: forbanic@phy.hr

3D Diracov polumetal

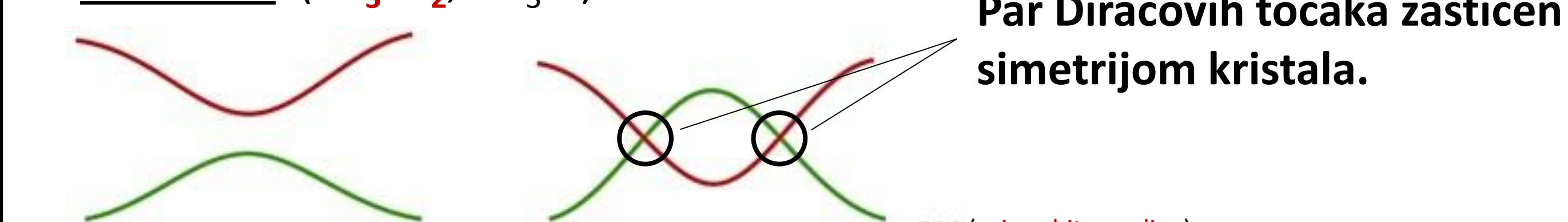
Linearna disperzija
oko dodirnih točaka.



Valentna i vodljiva
vrpca dodiruju se u
diskretnim točkama.

- Diracova disperzija u bulk stanjima (3D) u k -prostoru → **3D analogon grafena**.
- **Netrivialna topologija** vrpcu → invertirane vrpcu koje se dodiruju u Diracovim točkama.

- **Intrinskični** (Cd_3As_2 , Na_3Bi).



Par Diracovih točaka zaštićen
simetrijom kristala.

- Na faznom prijelazu između normalnog i topološkog izolatora ($\text{Pb}_{0.83}\text{Sn}_{0.17}\text{Se}$)



Fizika Diracovih fermiona:

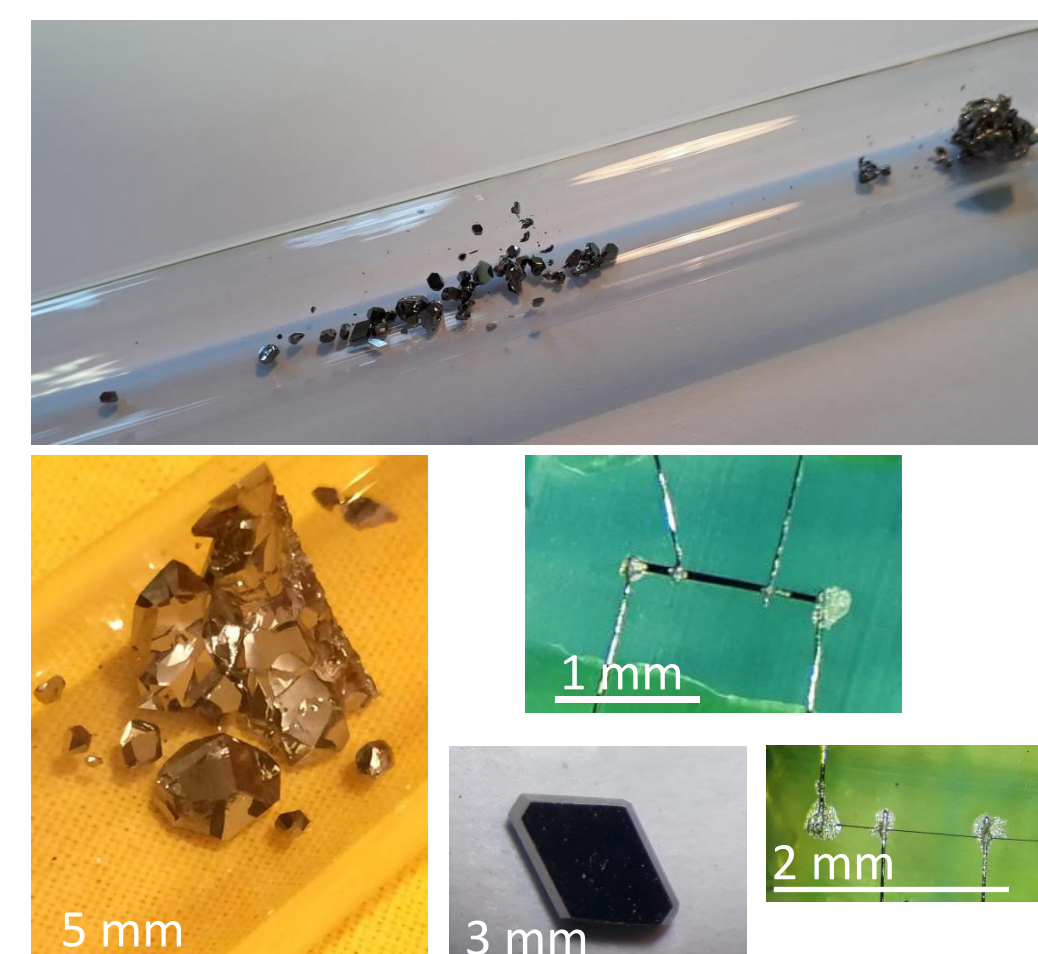
- Velika mobilnost i mala efektivna masa.
- Veliki linearni magnetootpor.
- Zanimljiva transportna svojstva.
- Fundamentalna fizika (realizacija Weylovog fermiona).

Ampula s vakuumom ili 0.1-0.5 bara argona i cca 1 g polikristalnog Cd_3As_2 .

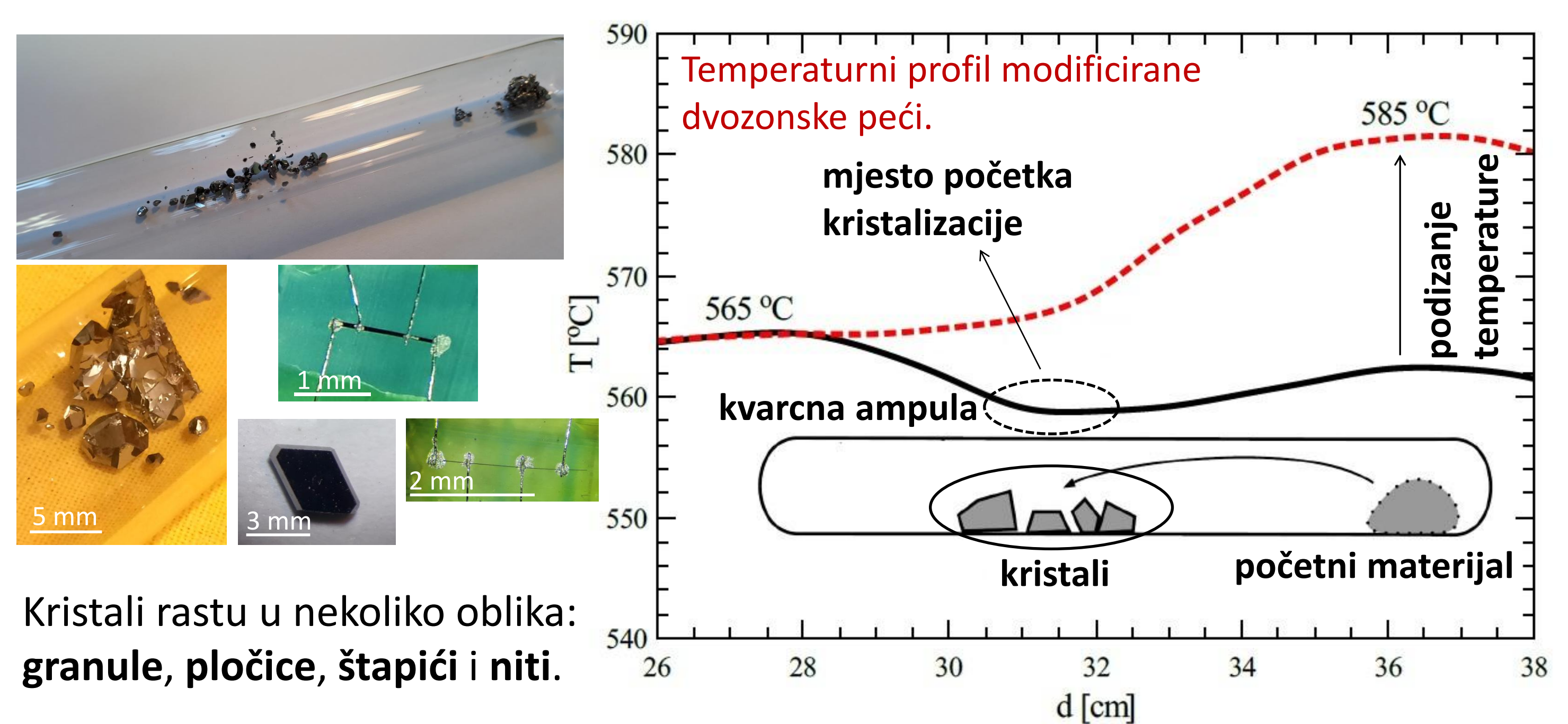


Zataljivanje kvarcne
cijevčice u ampulu.

Dvije zone peći su fizički odvojene
kvarcnom vunom → **specifični
temperaturni gradijent**.

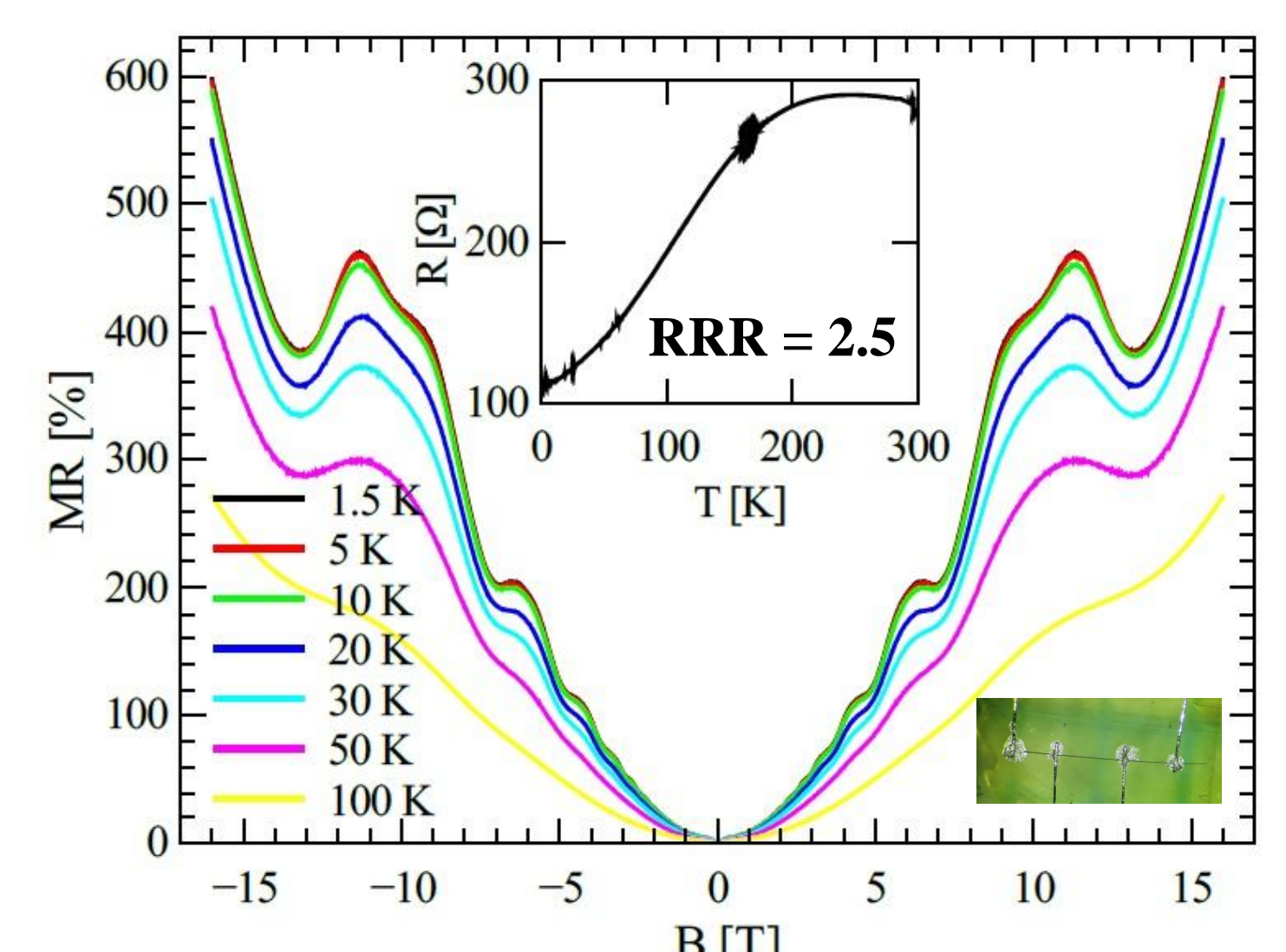
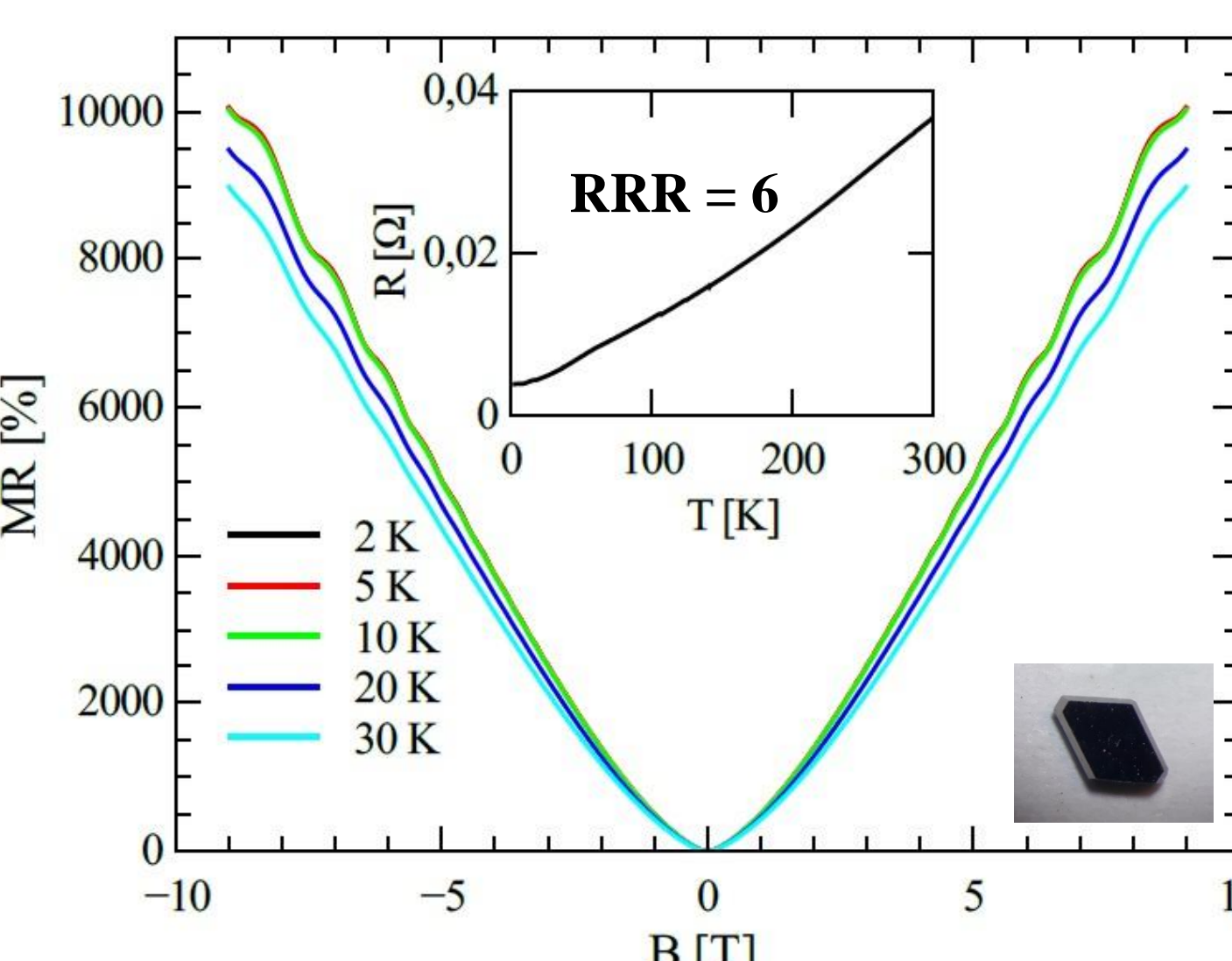
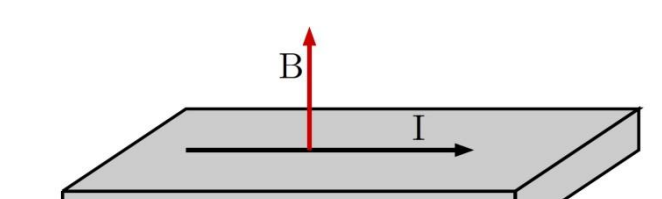


Kristali rastu u nekoliko oblika:
granule, pločice, štapići i niti.

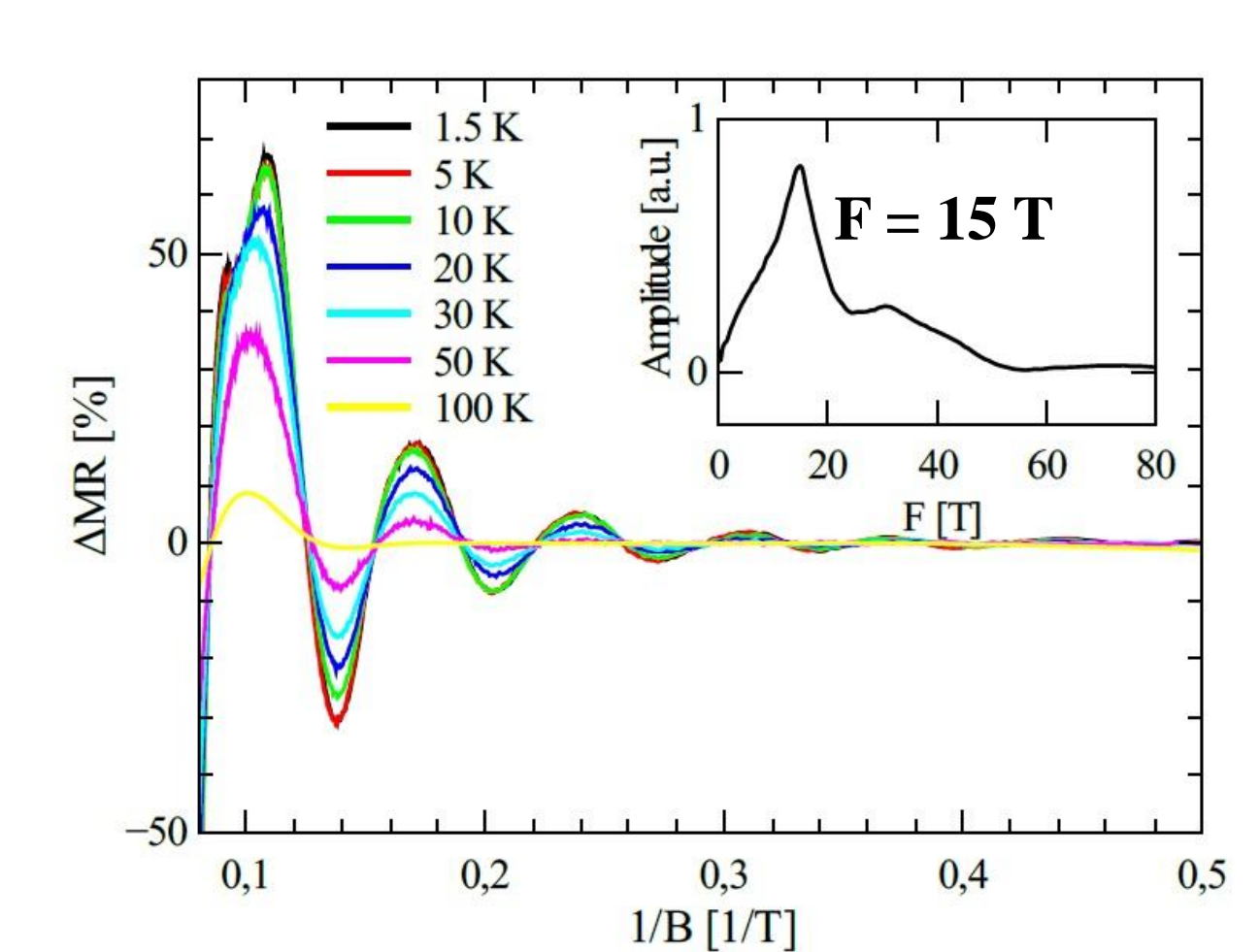
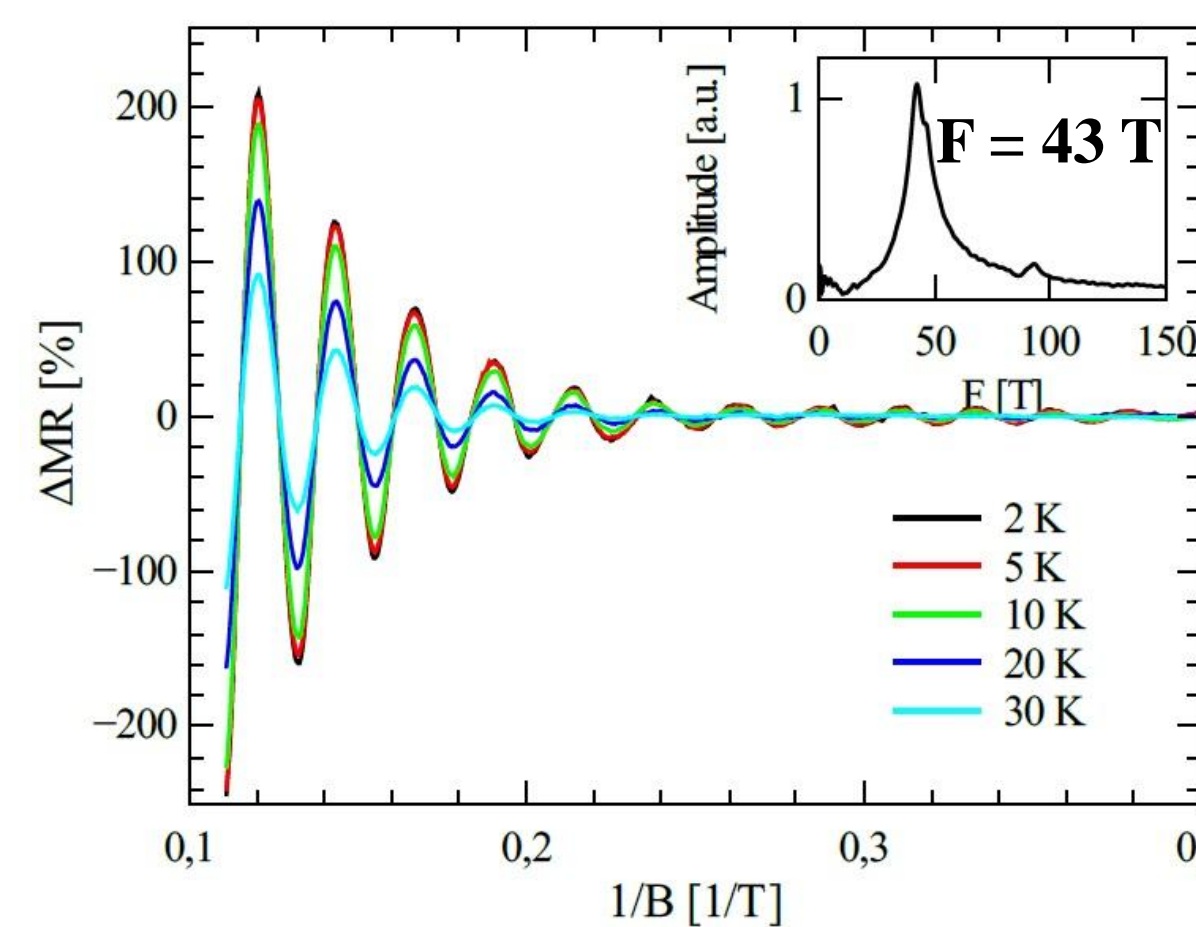


Transportna mjerena

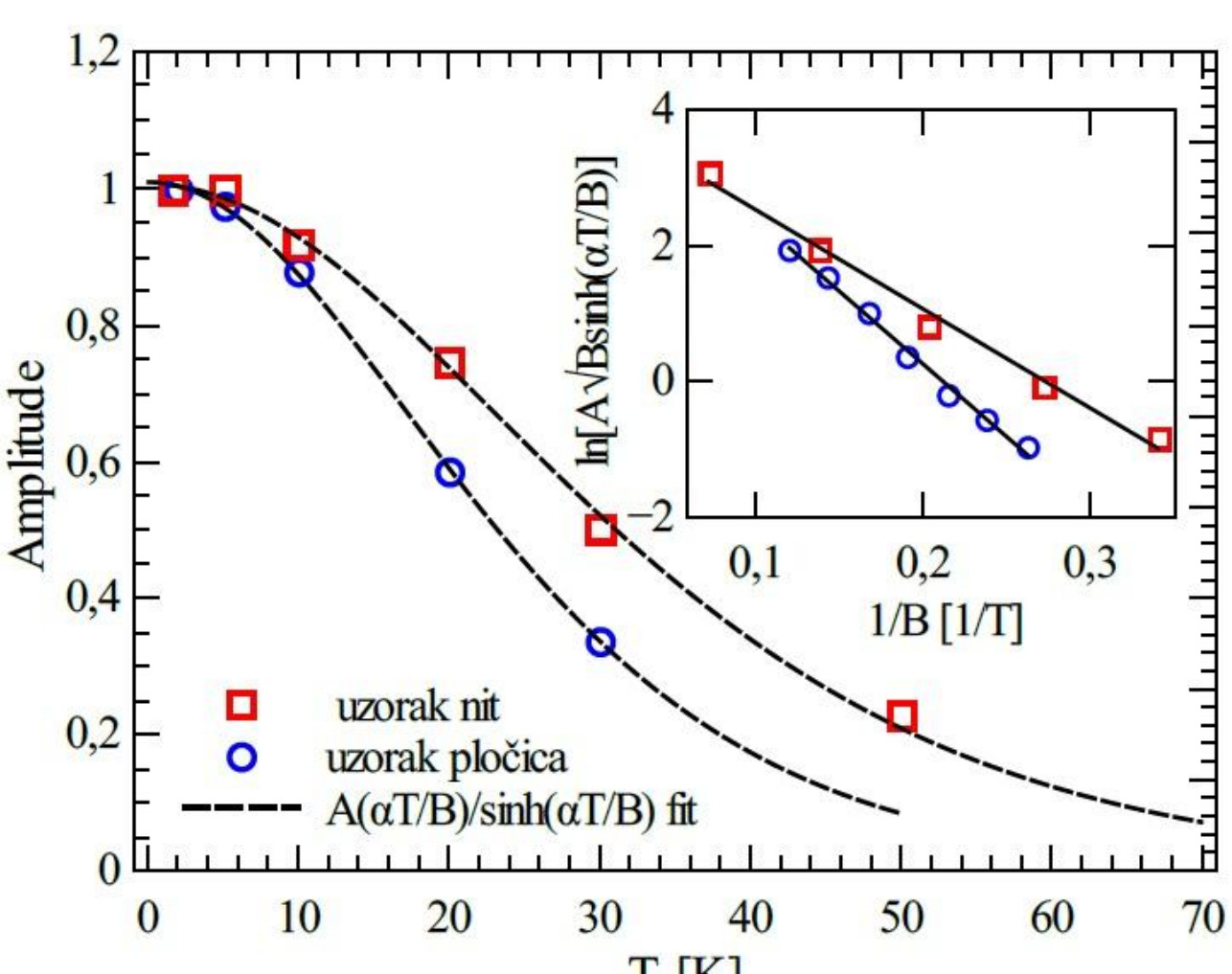
- Mjerena je **temperaturna ovisnost otpora** od 300 - 2 K i **magnetootpor** u B -polju do 9 i 16 T za različite uzorke.



Magnetootpor i temperaturna ovisnost otpora za dva različita oblika monokristala Cd_3As_2 .



Oscilatorični dio magnetootpora i pripadni FFT za dva različita uzorka.



Određivanje
 m_c^* i T_D iz
ovisnosti
amplitude
oscilacija o
temperaturi
i $1/B$.

$$\begin{aligned} m_c^* &= 0.045m_e & m_c^* &= 0.028m_e \\ T_D &= 32.6 \text{ K} & T_D &= 35.7 \text{ K} \\ \tau_Q &= 2.34 \cdot 10^{-13} \text{ s} & \tau_Q &= 2.14 \cdot 10^{-13} \text{ s} \\ \mu &= \frac{e\tau_Q}{m_c^*} = 9.14 \cdot 10^3 \text{ cm}^2/\text{Vs} & \mu &= 1.34 \cdot 10^4 \text{ cm}^2/\text{Vs} \\ k_F &= 0.036 \text{ Å}^{-1} & k_F &= 0.021 \text{ Å}^{-1} \\ v_F &= \frac{k_F}{m_c^*} = 9.29 \cdot 10^5 \text{ m/s} & v_F &= 8.83 \cdot 10^5 \text{ m/s} \\ n &= \frac{k_F^3}{3\pi^2} = 1.59 \cdot 10^{18} \text{ cm}^{-3} & n &= 3.28 \cdot 10^{17} \text{ cm}^{-3} \\ E_F &= m_c^* v_F^2 = 221 \text{ meV} & E_F &= 124 \text{ meV} \end{aligned}$$

Zaključak

- CVD metodom sinteze u modificiranoj dvozonskoj peći izbjegnuto je nabijanje materijala u hladniji kraj ampule.
- Različiti oblici monokristala Cd_3As_2 posjeduju drugačija transportna svojstva: manji RRR kod štapićastih uzoraka s tendencijom poluvodičkog ponašanja na visokim temperaturama, znatno manji magnetootpor kod štapićastih uzoraka, niža frekvencija u kvantnim oscilacijama → manja gustoća nosioca.
- Štapićasti uzorci imaju manju efektivnu ciklotronsku masu i niži Fermijev nivo → E_F je bliže Diracovoj točki .
- Mogućnost pomicanja položaja E_F kontroliranom sintezom uzorka.



PMF



Zahvala

Ovaj rad je u potpunosti financiran od Hrvatske zaklade za znanost pod projektom 6216.